

**ALBUM FOTOGRAFICO**

**HOJA 29-16**

**GELSA**

**MARZO/92**

**COMPAÑIA GENERAL DE SONDEOS, S.A.**

**FOTO RM-9501:** Facies de gravas y canales yesiareníticos de la terraza de +40 m (unidad 21).



**FOTO RM-9502:** Aspecto de detalle del canal de yesiarenitas de grano medio-grueso del afloramiento anterior.

**FOTO RM-9503:** Costras salinas de sulfatos y cloruros sódicos y cárnicos en la Laguna de la Playa.



**FOTO RM-9504:** Aspecto de conjunto de la gran depresión kárstica que configura la Laguna de la Playa. Se observan las antiguas explotaciones para obtención de sal.

**FOTO RM-9505:** Aspecto de conjunto del fondo endorreico prácticamente desecado de la Laguna de la Playa (Unidad 26).



**FOTO RM-9506:** Vista de los paleocanales yesiareníticos meandriformes de las unidades 4 y 7, coronados por un nivel carbonatado correspondiente a la unidad 10.

**FOTO RM-9507:** Aspecto de detalle de un canal meandriforme de la unidad 4 con acreción lateral y superficies de reactivación.



**FOTO RM-9508:** Barras de gravas correspondientes a la terraza de +20 m, coronadas por un nivel arenoso, en las cercanías de Sástago. (Unidad 22).

**FOTO RM-9509:** Aspecto de la Falla directa de plano muy vertical que afecta a las unidades 1 y 2 en las cercanías del Barranco del Pino. El labio hundido (salto de unos 10 m), es el del Oeste (izquierda de la foto).



**FOTO RM-9510:** Vista de conjunto de la gran dolina en cuyo fondo se localiza la salina del Rollico.

**FOTO RM-9512:** Pliegues enterolíticos en los niveles carbonatados intercalados en la unidad 13.



**FOTO RM-9511:** Nivel de yesos rojos muy recristalizados y posiblemente edafizados a techo de la unidad 11.



**FOTO RM-9514:**

Salida de una galería generada por procesos de **piping** desarrollados sobre los materiales limo-arcillosos con cantes de fondo de vale. (Unidad 30). Aquí presentan unos 4 m de espesor.



**FOTO RM-9515:**

Aspecto de detalle del inicio de la galería de **piping** de la foto anterior, que durante unos 15 m de longitud accesible mantiene una altura comprendida entre 1 y 1,5 m y una anchura de hasta 2 m.



**FOTO RM-9513:** Bancos tabulares potentes de yesos de tonos verdosos característicos que forman la unidad 13.

**FOTO RM-9516:** Conjunto de fracturas conjugadas con gran densidad que llegan a formar una zona triturada en las calizas y yesos de la unidad n° 2.



**FOTO RM-9517:**

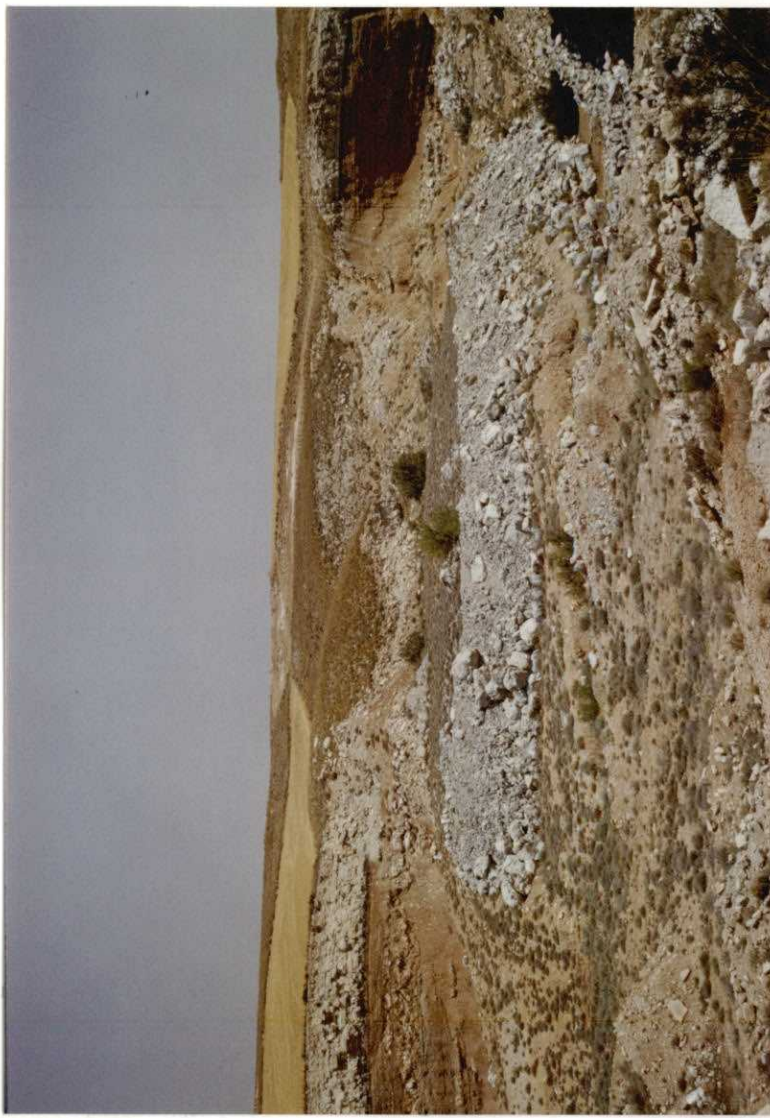
Gravas polimícticas bien redondeadas correspondientes a la terraza de +75 m, con un espesor visible de 4 m. Se aprecian cantos imbricados, y una cementación carbonatada más intensa en la parte superior (unidad 19).

\* NO TIENE UBICACIÓN EN EL PLANO  
DE SITUACIÓN DE MUESTRAS, NO  
HAY FICHAS MCC1 \*



**FOTO RM-9518:** Vista de conjunto de las pequeñas fallas directas que se interpretan como secundarias a la fosa tectónica donde se encaja el río Ebro en el sector SO de la hoja. Afectan a las unidades 1 y 3.

**FOTO RM-9519:** Laminación cruzada planar en un canal yesarenítico correspondiente a la unidad nº 4.



**FOTO RM-9520:** Laminación cruzada de tipo surco en un nivel yesarenítico intercalado en la unidad n° 2.

**FOTO RM-9521:** Aspecto general de afloramiento de los niveles yesíferos correspondientes a la unidad n° 2.



**FOTO RM-9522:** Nódulos yesíferos fibrosos de tipo roseta y diámetros de 30-70 cm intercalados en los yesos de la unidad 2.

**FOTO RM-9524:** Niveles calcáreos decimétricos con estructuras onduladas correspondientes a **ripples** de oleaje en la unidad n° 10.



**FOTO RM-9523:** Arcillas anaranjadas con nódulos yesíferos e intercalaciones de pequeños niveles yesiareníticos en la unidad nº 7.



**FOTO RM-9525:** Canales amalgamados en la base de la unidad n° 4.

**FOTO RM-9526:** Aspecto de otro canal similar al de la foto anterior.



**FOTO RM-9527:** Fallas directas conjugadas con saltos de 20-50 cm afectando a los materiales arcillo-margosos y yesíferos de la unidad n° 15.

**FOTO RM-9528:** Otro aspecto del afloramiento de la foto anterior.

